

GÜNEYDOĞU ANADOLU BİNDİRME ZONUNDA DEPREM OLUŞUMLARININ GUMBEL EXTREM DAĞILIMI İLE İNCELENMESİ

Investigation of the Earthquake Occurrences within the Southeast Anatolia Thrust Zone by Gumbel Extreme Distribution

Günruh BAĞCI (*)

ÖZET

Bu çalışmada, 1900-1990 yılları arasında Güneydoğu Anadolu Bindirme zonunda olan depremlerin verileri Gumbel Extrem Değerler dağılımı esas alınarak incelenmiş ve sismik risk değerleri hesaplanmıştır. Gumbel I'in [A ve B], Gumbel III' ün [W, U ve K] parametreleri, Newton-Raphson yönteminin *In* fonksiyonunun nümerik olarak maksimize edilmesinde en büyük olasılık teknığının kullanılmasıyla tespit edilmiştir.

Gumbel I olasılık dağılımından, Güneydoğu Anadolu Bindirme zonunda, $M=6.0$ olan depremin 50 yıllık süre içerisinde olma olasılığı %76, 100 yıllık süre içerisindeki olma olasılığı ise % 94 olarak tespit edilmiştir. $M=6.0$ olan depremin tekrarlanması için dönüş periyodu yaklaşık 17.5 yıl olarak bulunmuştur. Gumbel III olasılık dağılımdan ise $M=6.0$ olan depremin 50 ve 100 yıllık süreler içerisinde olma olasılığı çok yüksek olup, bu depremin tekrarlanması için dönüş periyodu 21.7 yıl olarak bulunmuştur.

ABSTRACT

In this study, earthquakes which occurred in the Southeast Anatolian Thrust zone between 1900-1990 were used to estimate seismic risk parameters from Extreme Value Distribution. The Gumbel I [A and B] and Gumbel III [W, U and K] parameters are determined utilizing the maximum likelihood technique by numerical maximization of the *In* function employing the Newton-Raphson procedure.

From Gumbel I distribution, probability of occurrence of $M=6.0$ earthquake in 50 years period was obtained as 76 percentage while probability of occurrence of same earthquake in 100 years period was obtained as 94 percentage. The return period for earthquake $M=6.0$ was found as 17.5 years. From Gumbel III distribution, the probability of occurrence of $M=6.0$ earthquake in 50 and 100 years period was obtained in higher percentages and the return period was found as 21.7 years.

GİRİŞ

Deprem oluşumlarının veya tekrar olma riskinin dönüşüm periyodlarının belirlenmesi, sismik risk çalışması yapılan ve sismik aktivitesi yüksek olan bölgeler için çok önemlidir. Dönüşüm periyodlarının belirlenmesinde kullanılan birçok istatistik çalışma neticesinde deprem oluşumları ve deprem olma riski ile ilgili sonuçlar elde edilmektedir.

Depremlerin zamana göre oluşumları rassal bir süreç olarak tanımlanmaktadır. Geçmişte gözlenen depremlerle ilgili verilere dayanarak, gelecekte olacak depremlerin tahmini istatistik modellerle ifade edilebilmektedir. Bu çalışmada, 1990-1990 yılları arasında Güneydoğu Anadolu Bindirme zonunda olmuş

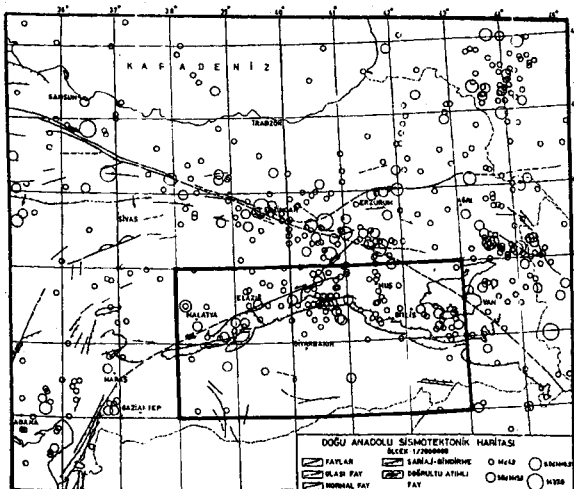
olan depremlerin verileri Gumbel ve Extrem değerler Dağılımı kullanılarak çalışılmış ve seçilen bölge için sismik risk değerleri bulunmuştur.

GÜNEYDOĞU ANADOLU BİNDİRME ZONUNUN SİSMOTEKTONİĞİ

Türkiye, yeryüzünde en önemli iki deprem kuşağından biri olan Alp-Himalaya deprem kuşağı üzerinde yer almaktadır. Güneydoğu Anadolu Bindirme zonu depremselliği ile belirginleşen önemli sismotektonik yapılarından biridir. Şekil 1'de verilen sismotektonik haritada görüldüğü gibi depremlerin yerel dağılımları incelendiğinde episantıların önemli tektonik yapılarından bir olan Güneydoğu Anadolu Bindirme üzerinde yer

*) Afet İşleri Genel Müdürlüğü Deprem Araştırma Dairesi, ANKARA

aldığı ve bu tektonik yapıya paralel olarak yoğunlaştığı görülmektedir.



Şekil 1: Doğu Anadolu'nun sismotektonik ve çalışılan bölgenin buldurul haritası.

Figure 1: Seismotectonic map of Eastern Anatolia and location study region.

Arap plakası ile Anadolu plakasının çarpışma yeri olan bindirme zonu aynı zamanda Ketin (1966) tarafından Toridler ve Kenar Kırımları diye adlandırılan tektonik birlüklerin sınırını tekil etmektedir. Bu zon boyunca bindirmeler Miyosen'den sonra başlamış ve Bitlis masifinin metamorfik kristalini serileriyle bunları örten Ofiyolitik Kretase tabakaları Miyosen ve kısmen Oligosen-Üst Eosen serileri üzerine itilmiştir. Toroslar kuşağında ve Güneydoğu Anadolu kenet kuşağında Üst Kretase'de başlayan sıkışma hareketleri Miyosen-MiyocPliyosen'de en şiddetli safhasına ulaşmıştır. Bu bölgedeki bindirmeler genel olarak Torosların güney kenarını izlemekte, batıda Maraş'ın kuzeyinden başlayarak doğuya doğru Çüngüş, Ergani, Lice, Kulp ve Pervani ilçelerinden geçerek, Zagros Bindirme Kuşağına bağlanmaktadır (Ketin, 1983). Canitez (1969), Nowroozi (1972), McKenzie (1972) ve Eyidoğan (1983) Zagros Kuşağı'nda oluşan depremlerin çögünün bölgese tektoniğe uygun şekilde kuzeydoğu-güneybatı yönünde sıkışmayı yansitan ters faylanma türünden mekanizmalarla sahip olduklarını göstermişlerdir.

GUMBEL EXTREM DEĞERLER DAĞILIMI

Maksimum magnitüdü depremlerin oluşma olasılıklarının "Extrem Değerler Teorisi" kullanılarak tesbit edilebileceği çalışması ilk olarak Nordquist (1945) tarafından yapılmıştır. En büyük deprem magnitüdlerine uygulanan Gumbel teorisinin matematiği birçok araştırmacı tarafından rapor edilmiştir (Knopoff ve Kagan, 1977; Burton, 1979; Burton, 1981). Gumbel

(1958) tarafından bulunan extrem değerler teorisinin avantajı, deprem oluşumlarının istatistiksel analizinde verilerin eksik olması durumunda da kullanılabilirliğidir. Genelde, Gumbel teorisi, daha önceden belirlenen aralıklarda, en büyük magnitüd değerleri kullanılarak deprem verilerinin sıralanmasında kullanılmaktadır. $G(m)$, extremlerin üç ayrı asimtotik dağılımlarından biri olarak tanımlanabilmektedir. Extremlerin asimtotik dağılımlarından birincisi olan Gumbel I,

$$G_1(m) = \exp\{-\exp - A(M-B)\} \quad (1)$$

şeklinde ifade edilmektedir. Bu dağılımda, iki parametre vardır. A sabit katsayı ve H ise model extrem değerinin karakteristiğidir. Deprem verilerinin eksik olması durumunda, Gumbel III aşağıdaki şekilde ifade edilmektedir:

$$G_3(m) = \exp\{(W-M)| (W-U)^K\} \quad M < W = 1 \quad M > W$$

Bu üç parametrelî dağılımin grafiksel davranışını kavisleşen eğri şeklidir ve bu eğride K kavisleşme parametresi, W , extrem değerlerin aralığının üst sınırı ve U tekrarlanan extrem değerlerin karakteristik değeridir. Maksimum magnitüdü depremlerin tekrar oluşmasının risk analizi Burton (1979) tarafından Gumbel III modeli kullanılarak yapılmıştır. Maksimum magnitüdü depremlerin oluşma olasılıklarında, üst sınır olmasının gerekliliğini belirlemiştir. Maksimum magnitüdü depremlerin oluşma olasılıklarında, üst sınır olmasının gerekliliğini belirlemiştir ve W değişkeninin önemini belirtmiştir.

Gumbel olasılık dağılımının bulunabilmesi için, elde bulunan deprem verileri içerisinde, n yıl içerisindeki " i "inci en büyük magnitüdü depremin yeri ise aşağıdaki denklemle ifade edilmektedir:

$$G_i(m) = i/n+1 \quad (3)$$

(1), (2) ve (3) no.lu denklemelerden hesaplanan olasılık dağılımları kullanılarak, dönüş periyodunun $T(M)$ (yıl) bulunması mümkündür. Dönüş periyodu $T(M)$, gözlenen M' ye eşit veya ondan büyük olan maksimum depremin bulunduğu aralıktaki ortalama değerdir ve aşağıdaki şekilde ifade edilmektedir:

$$T_i(M) = 1 - G_i(M) - 1 \quad (4)$$

Gumbel I doğrusal bir davranış göstermesine rağmen, Gumbel III aşağı doğru kavisleşen bir eğri davranış göstermektedir ve K kavislenme asimtotu için, az zaman olasılıklarında veya yüksek dönüşüm periyodlarında W ya doğru kavislenme parametresi olarak tanımlanmaktadır.

MAKSİMUM OLASILIK UYGULANARAK PARAMETRE TESPİT EDİLMESİ

Extrem dağılım parametrelerinin tesbit edilmesinde birçok yöntem bugüne kadar araştırmacılar tarafından kullanılmıştır (Hasking, 1985 Burton ve dig., 1983). Gumbel dağılımları parametrelerinin tesbit edilmesinde

kullanılacak maksimum olasılık parametreleri nümerik yöntemlerden Newton-Raphson yöntemi kullanılarak bulunabilmektedir (Gross ve Clark, 1975). Gumbel III (G3) dağılıminin verildiği (2) no.lu denklemden görüldüğü gibi, maksimizasyon yöntemi, W , U ve K parametrelerinin elde edilmesinde kullanılmaktadır. Bunun için, L olasılık fonksiyonu olarak tanımlanmıştır:

$$L = K / W - U^{n-r} \prod_{i=r+1}^{K-1} \left(W - M_i / W - U \right)^{K-i}$$

$$\left[\exp \left\{ - \sum_{i=r+1}^n \left(W - M_i / W - U \right)^K \right\} \right]$$

$$* \left\{ \exp \left\{ - \left(W - M_i / W - U \right)^K \right\} \right\}^r \quad (5)$$

Burada:

M_i = gözlenen deprem magnitüdü ($4.0 < M_i < 7.0$)

M_c = veriler içerisindeki en az deprem magnitüdü ($M_c=4.0$) n =bütün deprem verilerinin kullanıldığı zaman aralığı (n=90 yıl) $n-r$ = verilerin kullanıldığı yılların zaman aralığı Yukarıdaki denklemde, W , U ve K değişkenlerinin tespit edilmesinde, ilk tahminler W_0 , U_0 , K_0 olarak gösterilmekte ve m 'inci iterasyon sonucunda W , U ve K 'nın çözümlerine yaklaşan sonuç parametreleri bulunmaktadır.

GUMBEL I VE GUMBEL III DAĞILIMLARININ UYGULANMASI

Bu çalışmada, risk hesaplamalarına geçmeden önce, kullanılan deprem verilerin uygunluk testinin Gumbel I ve Gumbel III dağılımlarının hesaplamaları yapılp, parametreler bulunduktan sonra yapılması gerekmektedir.

Verilerin az olması nedeniyle, Kolmogorov-Smirnov testi uygulanmış ve maksimum olasılık yöntemi için uygunluk sağlanan kritik değerler bulunmuştur. Mühendislik sismolojisi amaçları için, dönüş ve ileriye yönelik tasarım periyodlarında deprem riskinin bulunabilmesinde, maksimum magnitüdlerin risk çalışmaları kullanılan yöntemlerdir. Lomnitz (1974)'e göre, deprem riski belli bir zaman aralığında beklenen magnitüde oluşacak olan kritik bir depremin oluşma olasılığı, "yüzde" olarak tanımlanabilmektedir. Gumbel I ve III olasılık dağılımlarını parametreleri, dönüş periyodu (T) ve tasarımlanan oluşma periyodu (D)'deki deprem riski $R(M)$ 'nin hesaplanmasıdır. Gumbel I ve III dağılımları için dönüş periyodları kullanılarak deprem riski aşağıda verilen denklemlerle hesaplanmaktadır:

Gumbel I için:

$$R1(M)_r = 1 - \exp \{ -T \exp \{ A(M - B) \} \} \quad (6)$$

Gumbel III için:

$$R3(M)_r = 1 - \exp \{ -T(W - M) / (W - U)^K \} \quad (7)$$

Aynı şekilde tasarımlanan oluşma yılları için (D), deprem risklerinin $T > D$ şartında hesaplanması aşağıdaki denklemlerle yapılmaktadır:

Gumbel I için:

$$RI(M)_D = 1 - G1(M)^D \quad (8)$$

Gumbel III için:

$$R3(M)_D = 1 - G3(M)^D \quad (9)$$

Denklem (6), (7), (8) ve (9)'nin birlikte çözülmesiyle, aşağıda verilen bağıntılar elde edilmekte ve bunlar deprem riskinin hesaplanmasında kullanılmaktadır:

Gumbel I için:

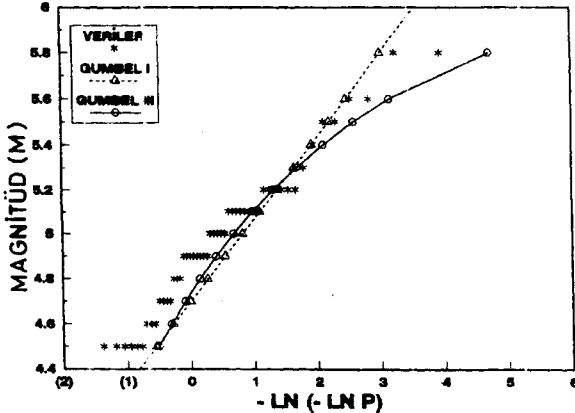
$$RI(M)_D = 1 - \exp \{ D/T \ln 1 - R1(M)_T \} \quad (10)$$

Gumbel III için:

$$R3(M)_D = 1 - \exp \{ D/T \ln 1 - R3(M)_T \} \quad (11)$$

GUMBEL I VE GUMBEL III DAĞILIMLARININ SİSMİK RİSK HESAPLAMALARI

Gumbel I ve Gumbel III asimtotik dağılım modelleri kullanılarak çalışılan bölge için Gumbel I'in parametreleri olan A ve B, Gumbel III'ün parametreleri olan W , U , K 'nın hesaplanan değerleri Çizelge 1 de verilmiştir. Gumbel I ve Gumbel III için bulunan bu parametreler kullanılarak bölge için $-\ln(-\ln G(m))$ değerleri yıllık maksimum magnitüd değerlerine göre hesaplanmıştır. Yıllık gözlenen magnitüd verilerinin olasılık dağılımları Denklem (3) ile gözlenen yıllık maksimum magnitüd değerlerine göre hesaplanmıştır. Gözlenen verilerin dağılımları ile, Gumbel I ve Gumbel III modelleri için olasılık dağılımları Şekil 2 de gösterilmiştir. Gumbel I ve Gumbel III olasılık modellerinin A , B , W , U ve K parametrelerinin hesaplanması ve Kolmogorov-Smirnov uygunluk testinden sonra deprem risk hesaplamalarında belirlenen deprem magnitüdlerinin dönüş periyodları ve tasarımlanan oluşum periyodları hesaplanmış ve Çizelge 2 de verilmiştir.



Şekil 2: Gumbel I ve Gumbel III modellerinin olasılık dağılımları.

Figure 2: Probability distributions of Gumbel I and Gumbel III models.

MODEL	MODEL PARAMETRELERİ	MAGNİTÜD (M)	K-S KRİTİK UYGUNLUK DEĞERİ	İTERASYON SAYISI
GUMBEL I	A = 2.13 B = 4.17	5.0 5.5 6.0 6.5 DÖNÜŞ PERİYODU (YIL) 17.50 59.80	0.149	5
GUMBEL III	W = 6.25 U = 4.73 K = 2.60	2.07 4.53 9.30 21.70	0.090	5

Çizelge 1: Gumbel I ve Gumbel III parametreleri.

Table 1: Best fit parameters of Gumbel I and Gumbel III models.

SONUÇLAR

Gumbel I ve Gumbel III olasılık dağılımlarının uygulanması ile, Güneydoğu Anadolu Bindirme zonunda, M=6.0 olan depremin 50 yıl içerisinde olma olasılığı yüzde 76, M=6.5 olan depremin ise yüzde 31 olduğu bulunmuştur. Gumbel III modeliyle, tasarımlanan deprem tekrar oluşma periyodlarından 50 yıl içerisinde M=6.0 depremin olma olasılığı yüzde 100 iken, M=7.0 depremin olma olasılığı yüzde 66 olarak bulunmuştur.

Gumbel I olasılık modelinin parametreleri A ve B , Güneydoğu Anadolu Bindirme zonu için 2.13 ve 4.67 olarak hesaplanmıştır. M=6.0 depremin dönüş periyodu Gumbel I modeliyle 17.5 yıl olarak bulunmuştur. Deprem verilerinin eksik olması durumunda Gumbel III modelinin parametreleri W , U ve K , 6.25, 4.73 ve 2.60 olarak hesaplanmıştır.

Güneydoğu Anadolu Bindirme zonunda, M=6.0 depremin dönüş periyodu Gumbel III modeliyle 21.7 yıl olarak bulunmuştur.

KAYNAKLAR

Burton, P.W., 1979, Seismic risk in southern Europe through to India examined using Gumbel's third distribution of extreme values: Geophys. J. R. Astr. Soc., 59, 249-280.

Burton, P.W., 1981, Variation of seismic risk parameters in Britain: in Proc Second Intern. Symp. Anal. Seismicity and Seismic Risk, Liblice, Chechoslovakia, 495-530.

GUMBEL I MODELİ								
MANYİTUD	TASARIMLANAN DEPREM OLUŞMA PERİYODU (YIL)	50	75	100	125	150	175	200
5.0	1.00	1.00	1.00	1.00	1.00	1.00	1.00	1.00
5.5	0.99	1.00	1.00	1.00	1.00	1.00	1.00	1.00
6.0	0.76	0.88	0.94	0.97	0.98	0.99	0.99	0.99
6.5	0.31	0.42	0.52	0.60	0.67	0.72	0.77	0.77
7.0	0.09	0.13	0.17	0.21	0.24	0.28	0.31	0.31
7.5	0.02	0.04	0.05	0.06	0.07	0.08	0.09	0.09

GUMBEL III MODELİ								
MANYİTUD	TASARIMLANAN DEPREM OLUŞMA PERİYODU (YIL)	50	75	100	125	150	175	200
5.0	1.00	1.00	1.00	1.00	1.00	1.00	1.00	1.00
5.5	1.00	1.00	1.00	1.00	1.00	1.00	1.00	1.00
6.0	1.00	1.00	1.00	1.00	1.00	1.00	1.00	1.00
6.5	0.98	0.99	0.99	1.00	1.00	1.00	1.00	1.00
7.0	0.66	0.80	0.88	0.93	0.96	0.98	0.99	0.99
7.5	0.12	0.18	0.23	0.28	0.32	0.36	0.40	0.40

Çizelge 2: Deprem magnitürlerinin tasarımılanan oluşum periyodları.

Table 2: Probability of earthquake risk occurrence of specified design periods.

Hurton, P.W., Main, I.G. and Long, R.E., 1983, Perceptible earthquakes in the central and eastern United States (examined using Gumbel's third distribution of extreme values): Bull. Seism. Soc. Am., 73, 497-518.

Canitez, N., 1969, Türkiye ve civarında deprem odaak hareketleri gerilme dağılımları: İ.T.Ü. Maden Fak. Yayımları, İstanbul.

Erdik, M.Ö. ve Marthor, S.K., 1980, M.E.T.U. Report No:4.

Eyidoğan, H., 1983, Bitlis-Zagros Bindirme ve Kırımlı kuşağıının sismotektonik özellikleri: Doktora Tezi, İ.T.Ü. Yayımları.

Gumbel, E.J., 1958, Statistics of Extremes: Columbia University Press, New York.

Gross, A.J. and Clark, V.K., 1975, Survival distributions: reliability applications in the biomedical sciences: John Wiley and Sons, New York, 331p.

Hasking, J.R.M., 1985, Maximum likelihood estimation of the parameters of the generalized extreme-value distribution: Appl. Statistics, 34, 3, 301-310.

Ketin, İ., 1966, Anadolu'nun tektonik birlükleri: M.T.A. Dergisi, 66, 20-34.

Ketin, İ., 1983, Türkiye jeolojisine genel bir bakış: İ.T.Ü. Yayımları.

Knopoff, L. and Kagan, Y., 1977, Analysis of the theory of extremes as applied to earthquake problems: J. Geophys. Res., 82, 5647-5657.

Lomnitz, C., 1974, Global tectonics and earthquake risk: Elsevier Science Publ., Amsterdam, 320p.

McKenzie, D.P., 1972, Active tectonics of Mediterranean region: Geophysics, 18, 1-32.

Nordquist, J.M., 1945, Theory of largest values applied to earthquake magnitudes: Trans. Am. Geophys. Un., 26, 29-31.

Nowroozi, A.A., 1972, Focal mechanism of earthquakes in Persia, Turkey, West Pakistan and Afghanistan and Plate tectonics of the Middle East: Bull. Seis. Soc. Am., 62, 823-850.